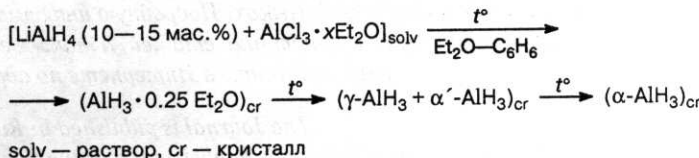


**Несольватированный гидрид алюминия. Кристаллизация из эфир-бензольных растворов**

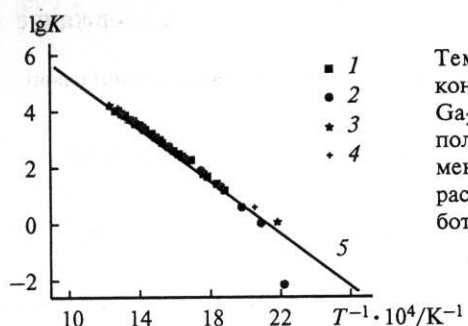
Б. М. Булычев, В. Н. Вербецкий,  
А. И. Сизов, Т. М. Звукова, В. К. Генчель,  
В. Н. Фокин



Изв. АН, Сер. хим., 2007, № 7, 1259

**Термодинамика парообразования трихлорида галлия**

Т. П. Чусова, Л. Н. Зеленина,  
Ю. Г. Стенин, З. И. Семенова, В. А. Титов

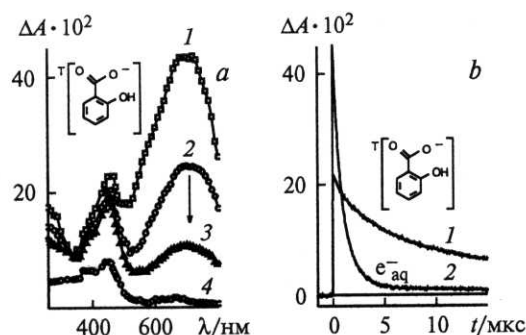


Температурные зависимости константы равновесия реакции  $\text{Ga}_2\text{Cl}_6 \text{ (r)} \rightleftharpoons 2 \text{ GaCl}_3 \text{ (r)}$ , полученные ранее по экспериментальным данным (1—4) и рассчитанная в настоящей работе (5).

Изв. АН, Сер. хим., 2007, № 7, 1266

**Фотохимия аниона салициловой кислоты в водном растворе**

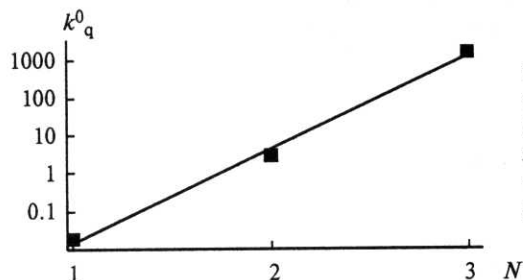
И. П. Поздняков, Ю. А. Соседова,  
В. Ф. Плюснин, В. П. Гришин,  
Н. М. Бажин



Изв. АН, Сер. хим., 2007, № 7, 1270

**Исследование кинетики реакций гидратированного электрона с анионами фосфата методом лазерного фотолиза**

П. П. Левин, О. Н. Бржевская,  
О. С. Неделина

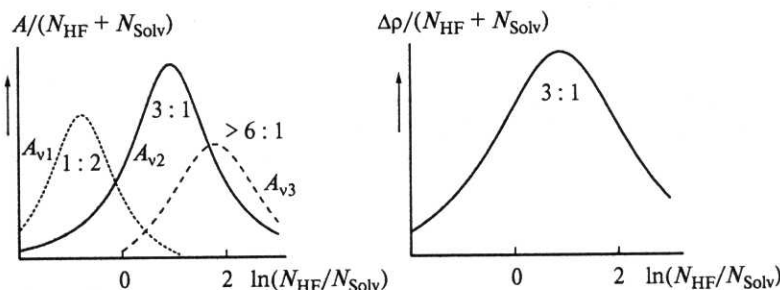


Зависимость константы скорости тушения  $e_{aq}^- (k^0_q)$  фосфатами при нулевой ионной силе от числа связей O—H в молекуле фосфата (N).

Изв. АН, Сер. хим., 2007, № 7, 1277

**Состав гетероассоциатов, образующихся в двойных жидкостных системах HF—пиридин и HF—формамид**

Г. В. Юхневич, Е. Г. Тараканова,  
В. Ф. Суховерхов, И. В. Быков



Изв. АН, Сер. хим., 2007, № 7, 1281

## Фотохимия аниона салициловой кислоты в водном растворе

И. П. Поздняков,\* Ю. А. Соседова, В. Ф. Плюснин, В. П. Гришин, Н. М. Бажин

Институт химической кинетики и горения Сибирского отделения Российской академии наук,  
Российская Федерация, 630090 Новосибирск, ул. Институтская, 3.  
Факс: (383) 330 7350. E-mail: pozdnyak@ns.kinetics.nsc.ru

С помощью методов оптической спектроскопии, флуоресценции и наносекундного лазерного импульсного фотолиза (XeCl-лазер, 308 нм) исследована фотохимия аниона салициловой кислоты ( $\text{HSA}^-$ ) в водных растворах. Возбуждение приводит к появлению триплетного состояния  $\text{HSA}^-$ , радикала  $\text{HSA}^\bullet$  и гидратированного электрона. Последние две частицы образуются предположительно в результате поглощения второго кванта света возбужденным синглетным состоянием аниона. В нейтральной среде основными каналом гибели триплетного состояния  $\text{HSA}^-$  является триплет-триплетная (T-T) аннигиляция. Радикал  $\text{HSA}^\bullet$  исчезает в реакции рекомбинации, а гидратированный электрон реагирует в основном с анионом  $\text{HSA}^-$ .

**Ключевые слова:** салициловая кислота, импульсный фотолиз, триплет-триплетное поглощение, двухквантовые процессы, гидратированный электрон.

Органические карбоновые кислоты представляют собой один из классов соединений, содержащихся в природных водах<sup>1</sup>. Эти кислоты способны к образованию комплексов с переходными металлами (в том числе  $\text{Fe}^{III}$ ), фотохимия которых может вносить существенный вклад в баланс органических соединений в водных системах<sup>2–9</sup>. Ароматические карбоновые кислоты имеют собственные интенсивные полосы поглощения в УФ-диапазоне спектра и могут подвергаться фотохимическим превращениям под действием солнечного излучения в некоординированном состоянии.

Салициловая кислота ( $\text{H}_2\text{SA}$ ) и ее производные относятся к структурным компонентам гуминовых веществ<sup>10</sup> и могут служить модельными соединениями, которые демонстрируют фотохимические свойства природных оксикислот. Известно, что производные  $\text{H}_2\text{SA}$  люминесцируют в синей области спектра<sup>11–15</sup>, однако фотохимические свойства этих молекул изучены мало. Только недавно опубликована работа<sup>12</sup>, в которой с помощью лазерного импульсного фотолиза зарегистрированы спектры триплет-триплетного поглощения ряда производных  $\text{H}_2\text{SA}$  в органических растворителях. В наших предыдущих работах<sup>16,17</sup> была исследована фотохимия 5-сульфосалициловой кислоты ( $\text{H}_3\text{SSA}$ ) в нейтральных водных растворах. В этих условиях основной формой  $\text{H}_3\text{SSA}$  являлся дианион ( $\text{HSSA}^{2-}$ ). Возбуждение (XeCl-лазер, 308 нм)  $\text{HSSA}^{2-}$  приводит к образованию триплетного состояния дианиона, гидратированного электрона ( $e_{eq}^-$ ) и анион-радикала  $\text{HSSA}^{\bullet-}$ . Две последние частицы появляются в результате двухквантовых процессов.

В настоящей работе в рамках программы исследования фотопревращений органических соединений в природной воде изучены фотохимические свойства

моноаниона салициловой кислоты ( $\text{HSA}^-$ ). Данная частица является основной фотоактивной формой кислоты в диапазоне pH, характерном для природной воды. Большое внимание уделено определению спектральных и кинетических характеристик первичных промежуточных состояний и частиц, возникающих при фотовозбуждении  $\text{HSA}^-$ .

### Экспериментальная часть

Салицилат натрия ( $\geq 99.5\%$ , «Fluka») применяли без дополнительной очистки. Растворы готовили на дважды дистиллированной воде. Если не оговорено особо, все опыты проводили с обескислороженными образцами в кювете с длиной оптического пути 1 см при температуре 298 К. Для удаления кислорода растворы барботировали аргоном.

Использовали установку лазерного импульсного фотолиза с возбуждением эксимерным XeCl-лазером (308 нм), длительность импульса 15 нс, площадь засветки  $0.14 \text{ см}^2$ , энергия импульса до 25 мДж.<sup>16</sup> Оптические спектры регистрировали на спектрофотометре «Hewlett Packard HP 8453». Спектры ЯМР получали на спектрометре «Bruker DPX-200» (200 МГц). Значения pH образцов измеряли с помощью pH-метра Анион-4100.

Спектры флуоресценции обескислорожденных растворов регистрировали на спектрофлюориметре «Varian CARY Eclipse» в кювете с длиной оптического пути 1 см. Спектры корректировали<sup>18</sup> на спектральную чувствительность прибора с использованием бисульфата хинина в 1 M  $\text{H}_2\text{SO}_4$  в качестве стандарта. Квантовый выход люминесценции растворов  $\text{H}_2\text{SA}$  определяли по описанной ранее методике<sup>19</sup> (стандарт – раствор бисульфата хинина в 1 M  $\text{H}_2\text{SO}_4$ );  $\phi = 0.546$ . Для определения энергии лазерного импульса применяли триплет-триплетное поглощение антрацена в бензole (полоса с максимумом  $\lambda = 431 \text{ нм}$ , коэффициент поглощения  $\epsilon = 4.2 \cdot 10^4 \text{ л} \cdot \text{моль}^{-1} \cdot \text{см}^{-1}$ , квантовый выход образования  $\phi = 0.53$ ).<sup>20</sup> Кинетические кривые рассчитывали с помощью специально разработанной про-

грамм с использованием метода Рунге—Кутта четвертого порядка.

### Обсуждение полученных результатов

**Спектроскопия водных растворов салициловой кислоты.** Салициловая кислота имеет два подвижных протона ( $\text{H}_2\text{SA}$ ) —  $\text{p}K_a$  групп  $\text{COOH}$  и  $\text{OH}$  равно 3.0 и 13.4 соответственно<sup>21</sup>. Таким образом, в широком диапазоне pH (4—12) основной формой кислоты в водных растворах являетсяmonoанион  $\text{HSA}^-$ . Спектры поглощения и люминесценции этой частицы представлены на рисунке 1. Присутствие в спектре длинноволновой полосы поглощения с максимумом в районе 300 нм ( $\epsilon \approx 3.5 \cdot 10^3 \text{ л} \cdot \text{моль}^{-1} \cdot \text{см}^{-1}$ )<sup>22,23</sup>, которая отвечает  $\pi-\pi^*$ -переходу<sup>24</sup>, характерно для всех форм  $\text{H}_2\text{SA}$ . Наблюдаемый большой стоксовый сдвиг люминесценции  $\text{HSA}^-$  ( $\sim 9300 \text{ см}^{-1}$ ) характерен для производных салициловой кислоты и связан с внутримолекулярным переносом протона с гидроксильной на карбоксильную группу и образованием таутомерных (или цвиттер-ионных) форм этих соединений в возбужденном  $S_1$ -состоянии<sup>11—15</sup>. Квантовый выход люминесценции  $\text{HSA}^-$  составляет  $\phi_{\text{lum}} = 0.34 \pm 0.04$ , что позволяет по известному времени жизни флуоресценции monoаниона ( $\tau_{\text{fl}} = 4.2 \text{ нс}$ )<sup>15</sup> рассчитать константу скорости излучательного процесса из  $S_1$ -состояния ( $k_{\text{lum}} = \phi_{\text{lum}}/\tau_{\text{fl}} = (8.1 \pm 0.9) \cdot 10^7 \text{ с}^{-1}$ ).

**Лазерный импульсный фотолиз водных растворов  $\text{HSA}^-$ .** При возбуждении лазерным импульсом (308 нм) обескислорожденных водных растворов  $\text{HSA}^-$  появляется промежуточное поглощение, состоящее из двух полос с максимумами при 455 и 720 нм (рис. 2, a), которые исчезают с существенно различающимися скоростями (рис. 2, b), что указывает на формирова-

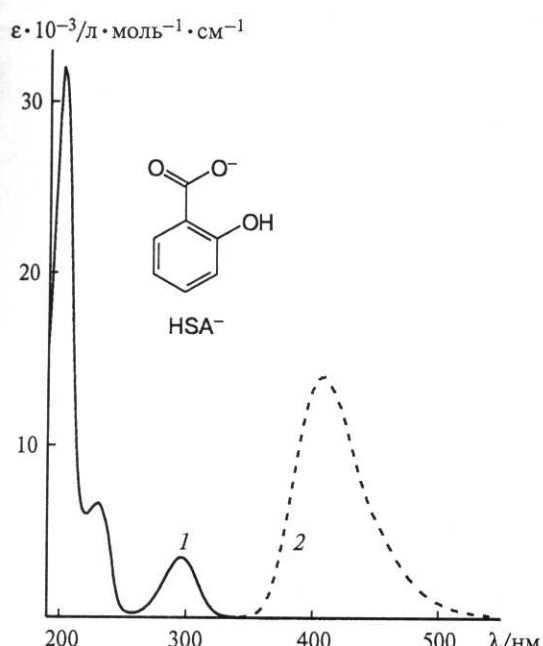


Рис. 1. Оптические спектры поглощения (1) и люминесценции (2) аниона салициловой кислоты  $\text{HSA}^-$  в водных растворах при  $\text{pH} = 7$ .

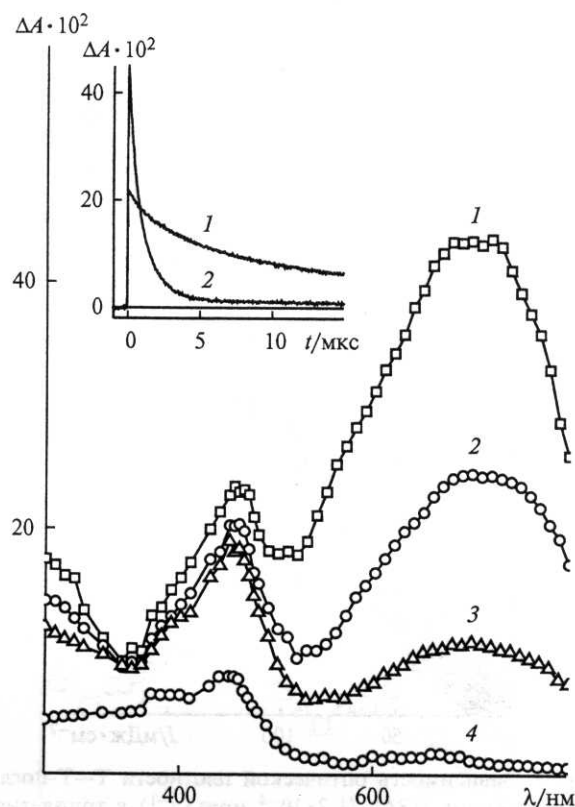


Рис. 2. Спектры промежуточного поглощения при импульсном фотолизе водных растворов  $\text{HSA}^-$  ( $1.7 \cdot 10^{-4} \text{ моль} \cdot \text{l}^{-1}$ ) в отсутствие кислорода при  $\text{pH} = 7$  через 0 (1), 0.4 (2), 1.2 (3) и 10 мкс (4) после лазерного импульса. На врезке — кинетические кривые при 455 (1) и 720 нм (2).

ние нескольких промежуточных частиц после лазерного импульса. Время жизни полосы при 455 нм значительно уменьшается в присутствии кислорода или акцептора триплетной энергии — 2,2'-ди пиридила, что свидетельствует о ее принадлежности к поглощению  $\text{HSA}^-$  из триплетного  $T_1$ -состояния ( ${}^3\text{HSA}^-$ ). Известно<sup>12</sup>, что полоса триплет-триплетного поглощения нейтральной формы салициловой кислоты ( $\text{H}_2\text{SA}$ ) в циклогексане имеет максимум при 440 нм. Сдвиг на 15 нм связан с изменением формы кислоты (нейтральная форма  $\text{H}_2\text{SA}$  и monoанион  $\text{HSA}^-$ ) и другим типом растворителя (вода и органический растворитель). Из работ по импульсному радиолизу<sup>25—27</sup> известно, что широкая полоса с максимумом при 720 нм отвечает поглощению гидратированного электрона ( $\epsilon^{720} = 1.85 \cdot 10^4 \text{ л} \cdot \text{моль}^{-1} \cdot \text{см}^{-1}$ ).

Зависимость триплет-триплетного поглощения  $\text{HSA}^-$  и поглощения  $\epsilon_{\text{aq}}^-$  от интенсивности лазерного импульса представлена на рисунке 3. Т—Т-Поглощение (455 нм) линейно возрастает при небольшой интенсивности и начинает приближаться к насыщению при интенсивности  $> 100 \text{ мДж} \cdot \text{см}^{-2}$ . Тангенс угла наклона на начальном участке зависимости выхода  ${}^3\text{HSA}^-$  от интенсивности лазерного импульса (см. рис. 3) определяет величину  $\phi(T_1) \cdot \epsilon_T^{455} = (1.1 \pm 0.1) \cdot 10^3 \text{ л} \cdot \text{моль}^{-1} \cdot \text{см}^{-1}$ , где  $\epsilon_T^{455}$  — коэффициент поглощения триплетного состояния  ${}^3\text{HSA}^-$  при

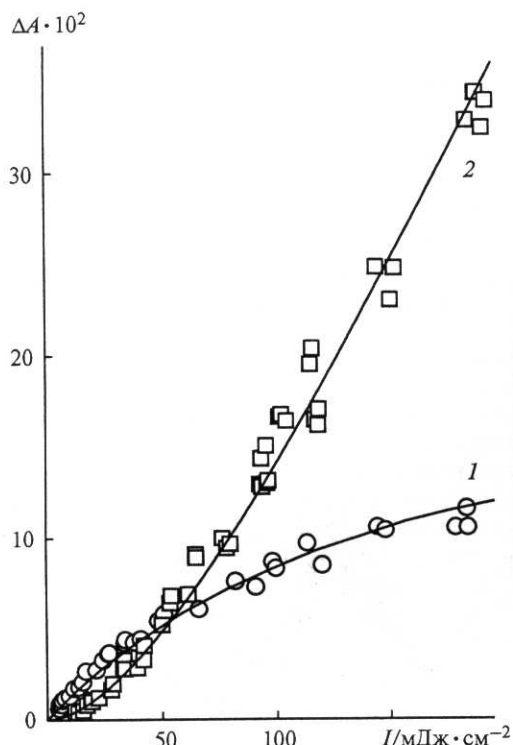


Рис. 3. Зависимость оптической плотности Т—Т-поглощения аниона HSA<sup>-</sup> ( $1.2 \cdot 10^{-4}$  моль  $\cdot$  л $^{-1}$ ) в тройном состоянии (1, 455 нм) и поглощения гидратированного электрона (2, 720 нм) от интенсивности лазерного импульса при pH = 7.

455 нм. Поглощение при 720 нм мало при небольших интенсивностях лазерного импульса и начинает существенно возрастать в области  $>30$  мДж  $\cdot$  см $^{-2}$ , что указывает на двухквантовый процесс появления гидратированного электрона. Квантовый выход  $e_{\text{aq}}^-$  при интенсивности лазерного импульса 200 мДж  $\cdot$  см $^{-2}$  составляет  $\sim 8\%$  от числа всех поглощенных квантов.

В присутствии кислорода в водных растворах  $e_{\text{aq}}^-$  и  ${}^3\text{HSA}^-$  быстро исчезают с характерными временами 50 и 200 нс соответственно. Эти условия позволяют зарегистрировать еще один, более долгоживущий интермедиат, оптический спектр которого состоит из двух полос поглощения с максимумами при 390 и 365 нм (рис. 4). Кинетика исчезновения этого поглощения представлена на врезке рисунка 4. Амплитуда поглощения при 390 нм ( $\Delta A^{390}$ ) квадратично зависит от интенсивности лазерного импульса и линейно — от величины поглощения гидратированного электрона при 720 нм ( $\Delta A^{720}$ ) (рис. 5). Эти данные указывают на то, что долгоживущий интермедиат появляется в двухквантовом процессе вместе с электроном.

В наших предыдущих работах<sup>16,17</sup> при изучении фотохимии дианиона сульфосалициловой кислоты ( $\text{HSSA}^{2-}$ ) было показано, что двухквантовая фотоионизация  $\text{HSSA}^{2-}$  происходит при поглощении второго кванта возбужденным синглетным ( $S_1$ ) состоянием дианиона с образованием пары гидратированный электрон—анион-радикал  $\text{HSSA}^{\bullet-}$ . Можно предположить, что и в случае аниона салициловой кислоты фотоионизация происходит из  $S_1$ -состояния

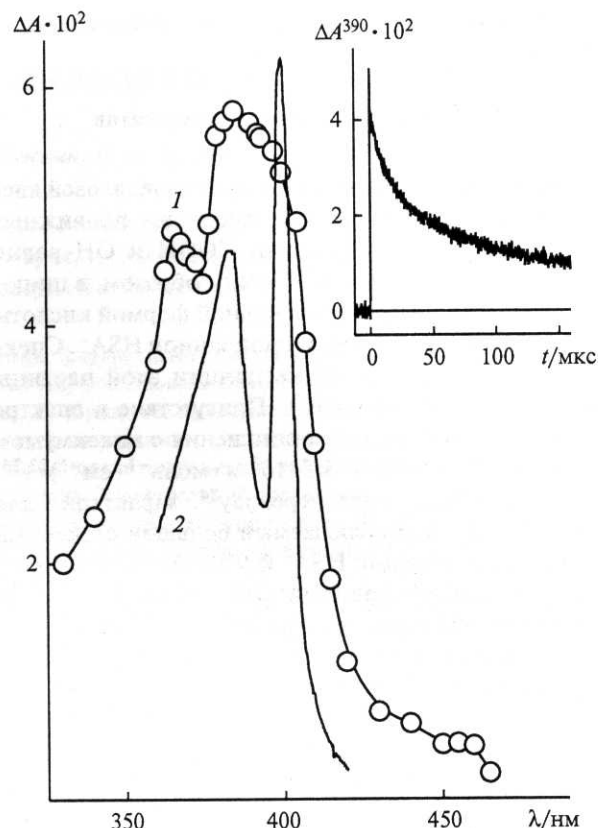


Рис. 4. Спектр промежуточного состояния радикала HSA<sup>•</sup> через 2 мкс после лазерного импульса (1) для насыщенных кислородом ( $[O_2] \sim 10^{-3}$  моль  $\cdot$  л $^{-1}$ ) водных растворов HSA<sup>-</sup> ( $1.2 \cdot 10^{-4}$  моль  $\cdot$  л $^{-1}$ , pH = 10.0) и оптический спектр феноксильного радикала<sup>28</sup> (2). На врезке — кинетическая кривая при 390 нм.

HSA<sup>-</sup> с появлением гидратированного электрона и радикала HSA<sup>•</sup>. Эта частица относится к радикалам

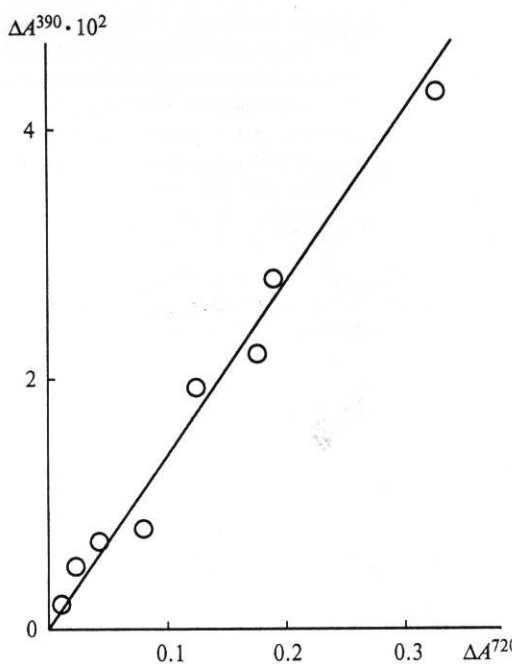


Рис. 5. Зависимость поглощения радикала HSA<sup>•</sup> ( $\Delta A^{390}$ ) от начального поглощения гидратированного электрона ( $\Delta A^{720}$ ) ( $[HSA^-] = 1.2 \cdot 10^{-4}$  моль  $\cdot$  л $^{-1}$ , pH = 10).

феноксильного типа и может иметь полосы поглощения в области 370—420 нм,<sup>28–30</sup> что хорошо согласуется с наблюдаемыми максимумами поглощения долгоживущего интермедиата. На рисунке 4 для сравнения представлен спектр феноксильного радикала  $C_6H_5O^\bullet$  (см. лит.<sup>28</sup>). Линейная зависимость  $\Delta A^{390}$  от  $\Delta A^{720}$  (см. рис. 5) позволяет по известному коэффициенту поглощения гидратированного электрона определить этот параметр для радикала HSA<sup>•</sup> —  $\epsilon^{390} = (2.5 \pm 0.3) \cdot 10^3 \text{ л} \cdot \text{моль}^{-1} \cdot \text{см}^{-1}$ . Для феноксильных радикалов коэффициенты поглощения расположены в близком интервале. Так, например, для радикала  $C_6H_5O^\bullet$  полоса поглощения с максимумом при 400 нм имеет коэффициент экстинкции  $\epsilon^{400} = 2.2 \cdot 10^3 \text{ л} \cdot \text{моль}^{-1} \cdot \text{см}^{-1}$ .<sup>28</sup>

**Коэффициент поглощения триплетного состояния HSA<sup>•</sup>.** Для определения коэффициента поглощения из триплетного состояния HSA<sup>•</sup> ( $\epsilon_T^{455}$ ) использован метод триплет-триплетного переноса энергии. В качестве акцептора энергии применяли 2,2'-дипиридил (DP), который имеет полосу Т—Т-поглощения с максимумом при 350 нм и коэффициентом поглощения  $1.8 \cdot 10^4 \text{ л} \cdot \text{моль}^{-1} \cdot \text{см}^{-1}$ .<sup>31</sup>

В водном растворе аниона HSA<sup>•</sup> с добавками 2,2'-дипиридила после лазерного импульса появляется полоса Т—Т-поглощения HSA<sup>•</sup> (455 нм). Она быстро трансформируется в новую полосу поглощения с максимумом при 350 нм (рис. 6), которая принадлежит триплетному состоянию DP ( ${}^3\text{DP}$ ). Кинетические кривые изменения поглощения при 455 и 350 нм показаны на врезке рисунка 6. Наблюданная константа скорости исчезновения Т—Т-поглощения HSA<sup>•</sup> ( $k_{app}^{455}$ ) растет с увеличением концентрации дипиридила, что подтверждает существование процесса переноса энергии. При небольших интенсивностях лазерного импульса (и небольших начальных концентрациях триплета  ${}^3\text{HSA}^\bullet$ ) для описания экспериментальных кинетических кривых и определения величины  $\epsilon_T^{455}$  можно использовать следующую кинетическую схему:



Константа  $k_1$  определена из зависимости  $k_{app}^{455}$  от концентрации DP (рис. 7). Линейная зависимость величины отрезка, отсекаемого на оси ординат, от концентрации DP приводит к величине  $k_1 = (4.9 \pm 0.3) \cdot 10^9 \text{ л} \cdot \text{моль}^{-1} \cdot \text{с}^{-1}$ . Константы скорости  $k_2 = (8.1 \pm 1.0) \cdot 10^3 \text{ с}^{-1}$  и  $k_3 = (1.7 \pm 0.2) \cdot 10^9 \text{ л} \cdot \text{моль}^{-1} \cdot \text{с}^{-1}$  были измерены в работе<sup>16</sup>. В реакции триплет-триплетной аннигиляции (3) вновь появляется синглетное возбужденное S<sub>1</sub>-состояние DP, поэтому для расчета

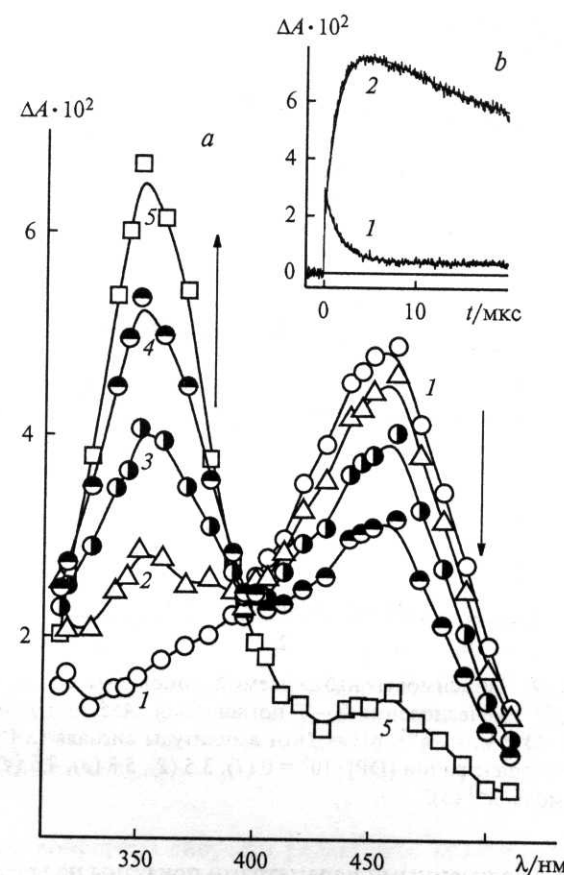


Рис. 6. Спектры промежуточного состояния (a) при импульсном фотолизе водного раствора HSA<sup>•</sup> ( $1.6 \cdot 10^{-4} \text{ моль} \cdot \text{л}^{-1}$ ) и 2,2'-дипиридила ( $2.4 \cdot 10^{-5} \text{ моль} \cdot \text{л}^{-1}$ ) ( $\text{pH} = 7$ ) через 0 (1), 0.8 (2), 2 (3), 4 (4) и 14 мкс (5) после лазерного импульса. На врезке (b) — кинетические кривые изменения поглощения при 455 (1) и 350 нм (2); гладкие линии — расчет кинетических кривых по реакциям (1)–(4) с параметрами, указанными в тексте.

кинетических кривых необходимо знать величину квантового выхода триплета  ${}^3\text{DP}$ , которая также измерена в работе<sup>16</sup> и равна  $\phi({}^3\text{DP}) = 0.29 \pm 0.02$ .

Для определения  $\epsilon_T^{455}$  полосы Т—Т-поглощения HSA<sup>•</sup> проведено сравнение рассчитанных и экспериментальных кинетических кривых при 350 и 455 нм, полученных при разных начальных концентрациях дипиридила и варьировании интенсивности лазерного импульса. Для расчета кинетических кривых решали систему дифференциальных уравнений для набора реакций (1)–(4). В качестве фиксированных параметров использовали константы  $k_1$ ,  $k_2$ ,  $k_3$  и отношение коэффициентов экстинкции при 350 и 455 нм для полос Т—Т-поглощения DP и HSA<sup>•</sup> ( $\epsilon_{DP}^{455}/\epsilon_{DP}^{350} = 0.05$  и  $\epsilon_T^{455}/\epsilon_T^{350} = 3.2$ ). Последние параметры определены из отношения амплитуд сигналов при соответствующих длинах волн при импульсном фотолизе отдельно измеренных растворов DP и HSA<sup>•</sup>. Единственным варьируемым параметром был коэффициент Т—Т-поглощения HSA<sup>•</sup> при 455 нм ( $\epsilon_T^{455}$ ). Полученное значение  $\epsilon_T^{455} = (7 \pm 1) \cdot 10^3 \text{ л} \cdot \text{моль}^{-1} \cdot \text{см}^{-1}$  позволяет согласовать все рассчитанные и экспериментальные кинетические кривые. Рассчитанные кинетические кри-

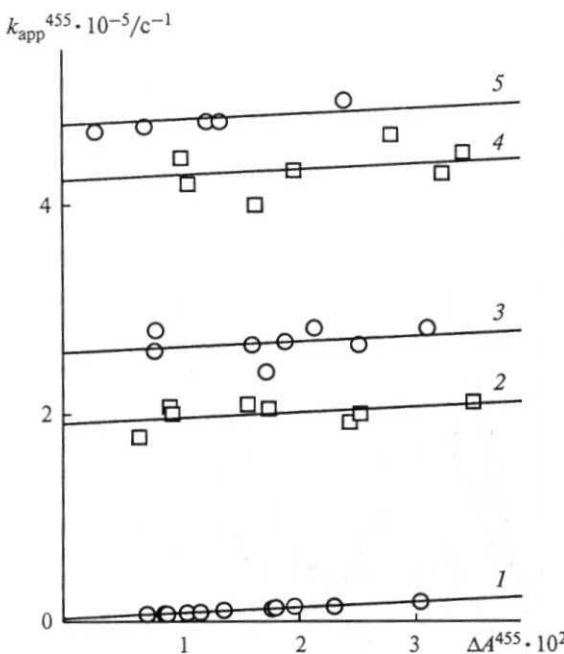


Рис. 7. Зависимость наблюдаемой константы скорости ( $k_{\text{app}}^{455}$ ) исчезновения Т—Т-поглощения (455 нм)  $\text{HSA}^-$  ( $1.0 \cdot 10^{-4}$  моль·л<sup>-1</sup>, pH = 7) от амплитуды сигнала ( $\Delta A^{455}$ ) при концентрации  $[\text{DP}] \cdot 10^5 = 0$  (1), 3.5 (2), 5.3 (3), 8.6 (4) и 9.9 моль·л<sup>-1</sup> (5).

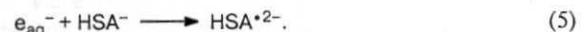
вые с полученными параметрами показаны на врезке рисунка 6 гладкими линиями.

Определенное выше произведение  $\phi(T_1) \cdot \epsilon_T^{455} = (1.1 \pm 0.1) \cdot 10^3$  л·моль<sup>-1</sup>·см<sup>-1</sup> и найденный коэффициент экстинкции позволили рассчитать квантовый выход триплетного состояния  $\text{HSA}^-$  ( $\phi(T_1) = 0.16 \pm 0.04$ ). Известное время жизни  $S_1$ -состояния (4.2 нс) и величины квантовых выходов  ${}^3\text{HSA}^-$  и флуоресценции дают возможность рассчитать константы скорости интеркомбинационной конверсии ( $k_{\text{isc}} = (3.7 \pm 0.9) \cdot 10^7$  с<sup>-1</sup>) и безызлучательного перехода  $S_1 \rightarrow S_0$  ( $k_{\text{nr}} = (1.2 \pm 0.2) \cdot 10^8$  с<sup>-1</sup>).

Определение фотофизических параметров аниона  $\text{HSA}^-$  позволило рассчитать выход триплетного состояния и гидратированного электрона к концу лазерного импульса и оценить коэффициент поглощения возбужденного  $S_1$ -состояния ( $\epsilon_{S1}^{308}$ ) при длине волн лазерного излучения (308 нм), которое поглощает второй квант. С учетом гауссовой формы лазерного импульса (ширина 15 нс) и поглощения триплетного состояния при 308 нм параметр  $\phi(e_{\text{aq}}^-) \cdot \epsilon_{S1}^{308} = (1.6 \pm 0.3) \cdot 10^3$  л·моль<sup>-1</sup>·см<sup>-1</sup> хорошо описывает зависимость выходов  ${}^3\text{HSA}^-$  и  $e_{\text{aq}}^-$  от интенсивности лазерного импульса (см. рис. 3, сплошные линии). Величина  $\phi(e_{\text{aq}}^-)$  — квантовый выход гидратированного электрона из  $S_N$ -состояния, в которое анион попадает после поглощения второго кванта<sup>16,17</sup>.

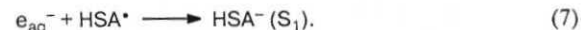
**Реакции исчезновения  $e_{\text{aq}}^-$ ,  $T_1$ -состояния  $\text{HSA}^-$  и радикала  $\text{HSA}^\bullet$ . Гидратированный электрон  $e_{\text{aq}}^-$ .** Наблюданная константа скорости исчезновения гидратированного электрона ( $k_{\text{app}}^{720}$ ), полученная при обработке кинетических кривых окончания поглощения электрона (720 нм) в растворах, не содержащих

кислорода, зависит от начальной величины поглощения  $e_{\text{aq}}^-$  и концентрации  $\text{HSA}^-$  (рис. 8). Величина отрезка, отсекаемого на оси ординат прямыми на рисунке 8, линейно зависит от концентрации  $\text{HSA}^-$  и соответствует реакции захвата электрона анионом



Константа скорости  $k_5 = (4.6 \pm 0.2) \cdot 10^9$  л·моль<sup>-1</sup>·с<sup>-1</sup> с учетом одинаковых зарядов реагирующих частиц близка к диффузионной константе скорости. В работе<sup>32</sup> по импульльному радиолизу водных растворов салицилата натрия приведена константа скорости  $k_5 \approx 10^{10}$  л·моль<sup>-1</sup>·с<sup>-1</sup>, что близко к найденной нами величине.

Наклон прямых  $k_{\text{app}}^{720} \propto \Delta A^{720}$  (см. рис. 8) определяется реакциями второго порядка



Обработка кинетических кривых для растворов с разной концентрацией  $\text{HSA}^-$  позволила получить суммарную константу скорости  $k_6 + k_7 = (1.6 \pm 0.3) \cdot 10^{10}$  л·моль<sup>-1</sup>·с<sup>-1</sup>. Из экспериментов по импульльному радиолизу воды<sup>33</sup> известно, что  $k_6 = (1.1 \pm 0.1) \cdot 10^{10}$  л·моль<sup>-1</sup>·с<sup>-1</sup>. Таким образом, константа скорости реакции захвата электрона радикалом  $\text{HSA}^\bullet$  равна  $k_7 \approx (5.0 \pm 0.2) \cdot 10^9$  л·моль<sup>-1</sup>·с<sup>-1</sup>, что также близко к диффузионному пределу для водных растворов.

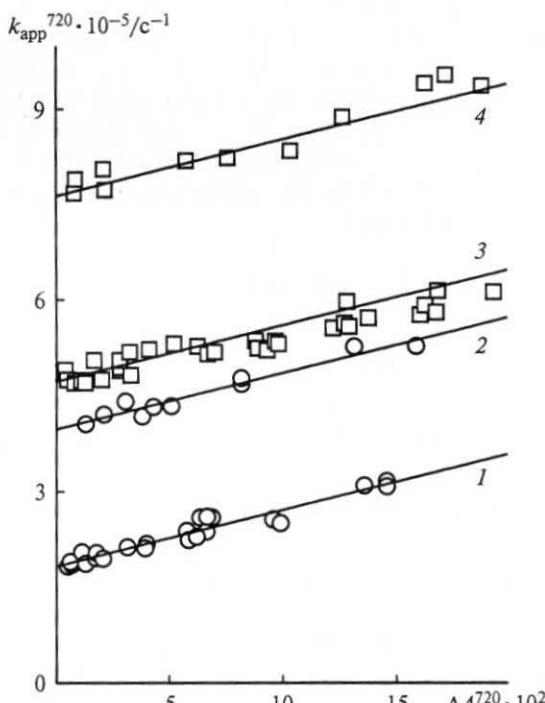


Рис. 8. Зависимость наблюдаемой константы скорости исчезновения поглощения гидратированного электрона при 720 нм ( $k_{\text{app}}^{720}$ ) от начальной амплитуды сигнала ( $\Delta A^{720}$ ) при концентрации  $[\text{HSA}^-] \cdot 10^5 = 3.4$  (1), 7.8 (2), 11 (3) и 15.5 моль·л<sup>-1</sup> (4).

**T<sub>1</sub>-Состояние HSA<sup>-</sup>.** Время жизни триплетного состояния аниона HSA<sup>-</sup> в присутствии кислорода ( $\sim 2 \cdot 10^{-4}$  моль·л<sup>-1</sup>) составляет  $\sim 1$  мкс (реакция псевдо-первого порядка с избытком концентрации O<sub>2</sub>). Таким образом, константа тушения триплетного состояния HSA<sup>-</sup> кислородом ( $k_{O_2} \approx 5 \cdot 10^9$  л·моль<sup>-1</sup>·с<sup>-1</sup>) близка к диффузионной константе скорости в воде. В растворах, не содержащих кислорода, время жизни триплета HSA<sup>-</sup> существенно увеличивается, и он начинает исчезать по реакции второго порядка, которая является процессом T-T-аннигиляции



В данном случае наблюдаемая константа скорости ( $k_{app}^{455}$ ) исчезновения T-T-поглощения линейно зависит от начальной концентрации триплета (см. рис. 7, точки на прямой I). В результате аннигиляции возникает анион HSA<sup>-</sup> в возбужденном S<sub>1</sub>-состоянии, способном вновь конвертироваться в триплетное состояние. С учетом указанного эффекта наклон ( $\Delta$ ) прямой I на рисунке 7 равен

$$\Delta = 2k_8(1 - \phi(T_1)/2). \quad (9)$$

Квантовый выход триплета  $\phi(T_1)$  определен выше, поэтому эти данные позволяют получить значение константы  $2k_8 = (3.9 \pm 0.5) \cdot 10^9$  л·моль<sup>-1</sup>·с<sup>-1</sup>. Величина отрезка, отсекаемого на оси ординат ( $\sim 3 \cdot 10^3$  с<sup>-1</sup>), соответствует тушению триплета  $^3\text{HSA}^-$  остаточным кислородом ( $\leq 2 \cdot 10^{-6}$  моль·л<sup>-1</sup>) или другими неконтролируемыми примесями.

**Радикал HSA<sup>•</sup>.** Известно, что феноксильные радикалы исчезают преимущественно за счет реакции рекомбинации<sup>34–36</sup>. Действительно, кинетика исчезновения поглощения радикала HSA<sup>•</sup> (390 нм) хорошо описывается законом второго порядка. Линейная зависимость наблюдаемой константы скорости ( $k_{app}^{390}$ ) от амплитуды поглощения (рис. 9) позволяет определить константу скорости рекомбинации радикалов HSA<sup>•</sup>,  $2k_{rec} = (1.8 \pm 0.3) \cdot 10^9$  л·моль<sup>-1</sup>·с<sup>-1</sup>. Кинетику исчезновения радикала определяли в растворах, которые продували кислородом (для ускорения исчезновения поглощения гидратированного электрона и триплета  $^3\text{HSA}^-$ ), поэтому отсекаемый отрезок на оси ординат (см. рис. 9) отвечает, скорее всего, реакции HSA<sup>•</sup> с кислородом. В насыщенных кислородом водных растворах [O<sub>2</sub>]  $\approx 1.25 \cdot 10^{-3}$  моль·л<sup>-1</sup>,<sup>37</sup> что позволяет по величине этого отрезка оценить константу скорости  $k_{O_2} \approx 2 \cdot 10^6$  л·моль<sup>-1</sup>·с<sup>-1</sup>. Низкие константы скорости реакции с кислородом характерны для феноксильных радикалов<sup>36,38</sup>.

Таким образом, методом лазерного импульсного фотолиза зарегистрирована полоса триплет-триплетного поглощения ( $\lambda_{max} = 455$  нм) аниона салициловой кислоты в водных растворах. С использованием триплет-триплетной передачи энергии на 2,2'-дипиридила определен коэффициент поглощения этой полосы. Показано, что при больших интенсивностях лазерного импульса происходит образование гидратированного электрона и радикала HSA<sup>•</sup>. Определены

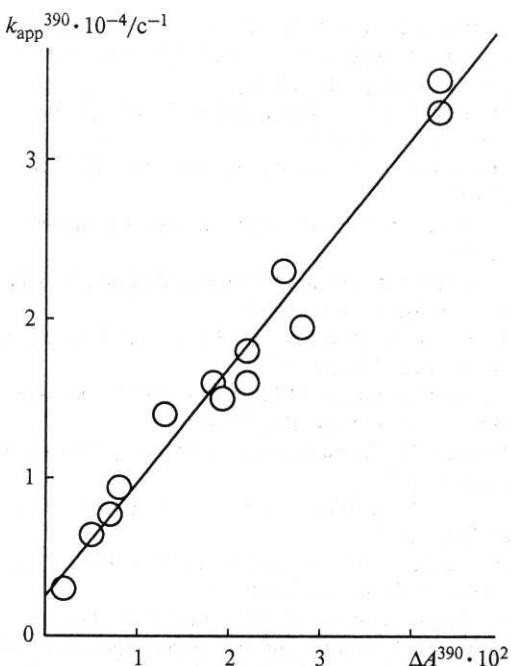


Рис. 9. Зависимость наблюдаемой константы скорости исчезновения поглощения радикала HSA<sup>•</sup> при 390 нм ( $k_{app}^{390}$ ) от амплитуды сигнала ( $\Delta A^{390}$ ) при  $[HSA^-] = 2.0 \cdot 10^{-4}$  моль·л<sup>-1</sup>.

ны константы скорости релаксации возбужденного S<sub>1</sub>-состояния, квантовые выходы триплетного состояния и электрона. В нейтральной среде основными каналами исчезновения триплетного состояния HSA<sup>-</sup>, радикала HSA<sup>•</sup> и гидратированного электрона являются T-T-аннигиляция, рекомбинация и захват анионом соответственно. Наносекундный лазерный импульсный фотолиз HSA<sup>-</sup> в водных растворах может быть удобным источником гидратированного электрона с высоким квантовым выходом.

Работа выполнена при финансовой поддержке Российской фонда фундаментальных исследований (проекты № 05-03-32474, № 06-03-32110, № 06-03-90890-Mol и № 05-03-39007GFEN), Федерального агентства по науке и инновациям (гос. контракт № 02.444.11.7231) и Программы комплексных интеграционных проектов Сибирского отделения Российской академии наук СО РАН-2006 (гранты № 4.16 и 77).

### Список литературы

- E. M. Thurman, *Organic Geochemistry of Natural Waters*, Ed. M. Nijhoff, Dr W. Junk Publisher, Kluwer Acad. Publ. Group, Dordrecht—Boston—Lancaster, 1985, 610 pp.
- Y. Zuo and J. Hoigne, *Atmospheric Environment*, 1994, **28**, 1231.
- W. Feng and D. Nansheng, *Chemosphere*, 2000, **41**, 1137.
- B. S. Faust and R. G. Zepp, *Environ. Sci. Technol.*, 1993, **27**, 2517.
- I. P. Pozdnyakov, E. M. Glebov, V. F. Plyusnin, V. P. Grivin, Yu. V. Ivanov, D. Yu. Vorobyev, and N. M. Bazhin, *Pure Appl. Chem.*, 2000, **72**, 2187.

6. I. P. Pozdnyakov, Yu. A. Sosedova, V. F. Plyusnin, V. P. Grivin, E. M. Glebov, D. Yu. Vorobyev, and N. M. Bazhin, *Int. J. Photoenergy*, 2004, **6**, 89.
7. B. Voelker, F. M. M. Morel, and B. Sulzberger, *Environ. Sci. Technol.*, 1997, **31**, 1004.
8. H. Gao and R. G. Zepp, *Environ. Sci. Technol.*, 1998, **32**, 2940.
9. C. J. Miles and P. L. Brezonik, *Environ. Sci. Technol.*, 1981, **15**, 1089.
10. F. J. Stevenson, *Humus Chemistry*, 2nd ed., J. Wiley and Sons, New York, 1994, 512 pp.
11. J. L. Herek, S. Pedersen, L. Banares, and A. H. Zewail, *J. Chem. Phys.*, 1992, **97**, 9046.
12. H.-C. Ludemann, F. Hillenkamp, and R. W. Redmond, *J. Phys. Chem. A*, 2000, **104**, 3884.
13. P. B. Bisht, M. Okamoto, and S. Hirayama, *J. Phys. Chem. B*, 1997, **101**, 8850.
14. P. J. Kovi, C. L. Miller, and S. G. Schulman, *Anal. Chim. Acta*, 1972, **61**, 7.
15. H. C. Joshi, H. Mishra, and H. B. Tripathi, *J. Photochem. Photobiol. A: Chem.*, 1997, **105**, 15.
16. I. P. Pozdnyakov, V. F. Plyusnin, V. P. Grivin, D. Yu. Vorobyev, A. I. Kruppa, and H. Lemmetyinen, *J. Photochem. Photobiol. A: Chem.*, 2004, **162**, 153.
17. I. P. Pozdnyakov, V. F. Plyusnin, V. P. Grivin, D. Yu. Vorobyev, N. M. Bazhin, and E. Vauthey, *J. Photochem. Photobiol. A: Chem.*, 2006, **182**, 75.
18. E. Lippert, W. Nagele, I. Seibold-Blankenstein, U. Staiger, and W. Voss, *Z. Anal. Chem.*, 1960, **170**, 1.
19. D. F. Eaton, *Pure Appl. Chem.*, 1988, **60**, 1107.
20. R. H. Compton, T. U. Gratton, and T. Morrow, *J. Photochem.*, 1980, **14**, 61.
21. L. G. Sillen and A. E. Martell, *Stability Constants of Metal-Ion Complexes*, The Chemical Society, Burlington House, 1964, 754 pp.
22. L. Láng, *Absorption Spectra in the Ultraviolet and Visible Region*, Academai Kiado, Budapest, 1966, V. 1, p. 93.
23. H. V. Meek and C. V. Banks, *Anal. Chem.*, 1950, **22**, 1512.
24. A. L. Sobolewski and W. Domcke, *Chem. Phys.*, 1998, **232**, 257.
25. А. К. Пикаев, С. А. Кабачи, И. Е. Макаров, Б. Г. Ершов, *Импульсный радиолиз и его применение*, Атомиздат, Москва, 1980, 280 с.
26. S. O. Nielsen, B. D. Michael, and E. J. Hart, *J. Phys. Chem.*, 1976, **80**, 2482.
27. B. D. Michael, E. J. Hart, and K. H. Schmily, *J. Phys. Chem.*, 1971, **75**, 2802.
28. R. J. Field, N. V. Raghavan, and J. G. Drummer, *J. Phys. Chem.*, 1982, **86**, 2443.
29. M. Sarakha, M. Bolte, and H. D. Burrows, *J. Photochem. Photobiol. A: Chem.*, 1997, **107**, 101.
30. G. Dobson and L. I. Grossweiner, *Trans. Faraday Soc.*, 1965, **61**, 708.
31. Y. P. Tsentalovich, O. B. Morozova, A. V. Yurkovskaya, and P. J. Hore, *J. Phys. Chem. A*, 1999, **103**, 5362.
32. C. B. Amphlett, C. E. Adams, and B. D. Michael, *Adv. Chem. Ser.*, 1968, **81**, 231.
33. G. V. Buxton, C. L. Greenstock, W. P. Helman, and A. B. Ross, *J. Phys. Chem. Ref. Data*, 1988, **17**, 559.
34. H.-J. Joschek and S. I. Miller, *J. Am. Chem. Soc.*, 1966, **88**, 3273.
35. M. Ye and R. H. Schuler, *J. Phys. Chem.*, 1989, **93**, 1898.
36. F. Jin, J. Leitich, and C. von Sonntag, *J. Chem. Soc., Perkin Trans. 2*, 1993, 1583.
37. В. Е. Коган, В. М. Фридман, В. В. Кафаров, *Справочник по растворимости*, Изд-во АН СССР, Москва, 1962, Т. 1, № 1, с. 87.
38. T. N. Das, *J. Phys. Chem. A*, 2001, **105**, 5954.

Поступила в редакцию 12 января 2007